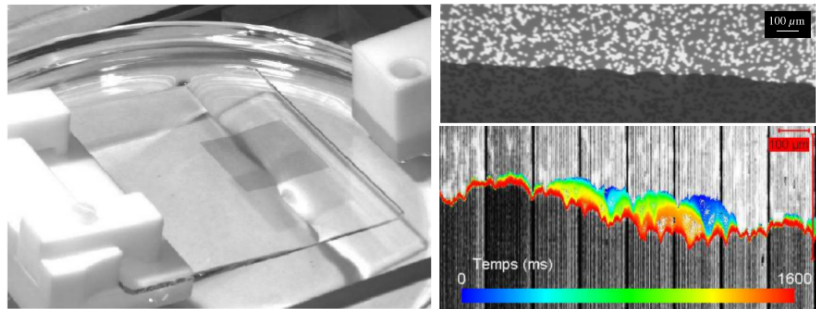


Samostalni seminar iz istraživanja u fizici  
Analitički opis metastabilnosti u kritičnom  
ponašanju neuređenog sustava

Lucija Nora Farkaš  
Mentor: dr. sc. Ivan Balog

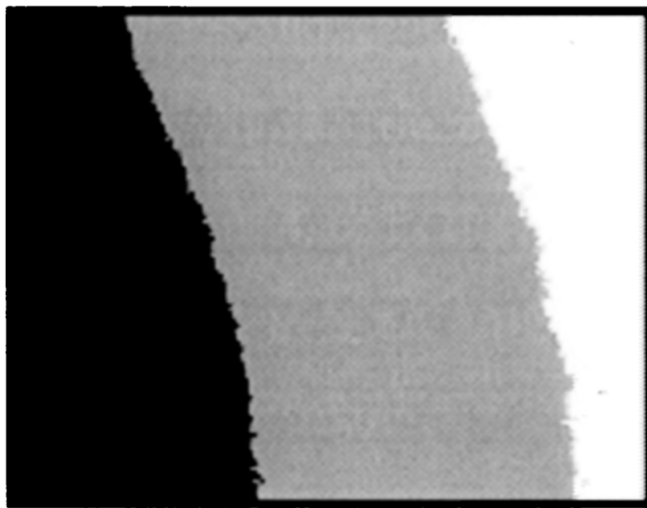
28. siječnja 2019.

# REM model i realizacije



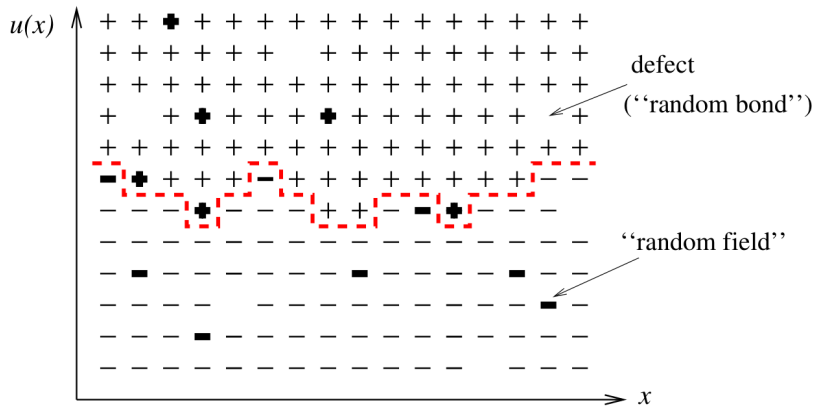
Slika : Kontaktna linija glicerina [1].

## REM model i realizacije



Slika : Domenski zid u ultratankom sloju kobalta [2].

# REM model i realizacije



Slika : Isingov magnet [1].

# REM model i realizacije

- ▶ Navedene fizikalne sustave modeliramo elastičnom mnogostrukosti u neuređenom mediju.
- ▶  $T = 0K$ : nema dinamike kojom bi se sustav relaksirao iz metastabilnog u osnovno stanje.
- ▶ Hamiltonijan REM modela i korelator nereda:

$$\begin{aligned}\mathcal{H}[u] = & \int d\vec{x} \frac{1}{2} \left[ \vec{\nabla} \vec{u}(\vec{x}) \right]^2 \rightarrow \text{elastičnost} \\ & + \int d\vec{x} V[\vec{x}, \vec{u}(\vec{x})] \rightarrow \text{nered},\end{aligned}\tag{1}$$

$$\langle V(\vec{x}, \vec{u}) V(\vec{x}', \vec{u}') \rangle := \delta^d(\vec{x} - \vec{x}') R(\vec{u} - \vec{u}').\tag{2}$$

## Procjena doprinosa nereda i kritičnosti

- ▶ Doprinos nereda procjenjujemo preko energetskih doprinosa.
- ▶ Larkin → gledamo kako se Hamiltonian skalira  $\Rightarrow$   
Larkinova skala  $L_c$ , gornja kritična dimenzija  $d = 4$ :

$$E_{DO} = E_{el} \implies L_c = \left( \frac{c^2}{\bar{f}^2} \xi^d \right)^{\frac{1}{4-d}}. \quad (3)$$

- ▶ Termodinamička granica  $+ d < 4 \implies$  nered dominantan.
- ▶ Kritično ponašanje [1]:

$$\langle [\vec{u}(\vec{x}) - \vec{u}(\vec{x}')]^2 \rangle \propto |\vec{x} - \vec{x}'|^{2\zeta}; \quad \zeta < 1. \quad (4)$$

$$\text{Tok } \Delta_I(u) = -R''(u)$$

$$\langle V(\vec{x}, \vec{u}) V(\vec{x}', \vec{u}') \rangle := \delta^d(\vec{x} - \vec{x}') R(\vec{u} - \vec{u}') \quad (5)$$

- ▶ Operacije renormalizacije [3]:  
"coarse-grain" → reskaliranje → renormalizacija.
- ▶ Početne veličine koje razmatramo (RG početni uvjet): analitičke funkcije.
- ▶ Ponašanje veličine  $\Delta_I(u)$  pod ovim transformacijama opisano je sljedećom jednadžbom [4] uz  $\epsilon = 4 - d$ :

$$\begin{aligned} \partial_I \Delta_I(u) = & (\epsilon - 3\zeta) \Delta_I(u) + \zeta [u \Delta_I(u)]' \\ & - \frac{1}{2} \left\{ [\Delta_I(u) - \Delta_I(u=0)]^2 \right\}'' . \end{aligned} \quad (6)$$

- ▶ Fizikalni početni uvjet za nerед nasumičnog polja [5]:

$$0 < \int du \Delta_{I=0}(u) < +\infty. \quad (7)$$

## Fiksna točka $\partial_I \Delta_I = 0$

- Računamo  $\zeta = \frac{\epsilon}{3} = \frac{4-d}{3}$  :

$$\begin{aligned}\partial_I \int_{-\infty}^{\infty} du \Delta_I(u) &= (\epsilon - 3\zeta) \int_{-\infty}^{\infty} du \Delta_I(u) + \zeta [u \Delta_I(u)] \Big|_{-\infty}^{\infty} \\ &\quad - \Delta'_I(u) [\Delta_I(u) - \Delta_I(0)] \Big|_{-\infty}^{\infty}\end{aligned}$$

$$\xrightarrow{\partial_I \Delta_I = 0} R(-u) = R(u), \quad (7)$$

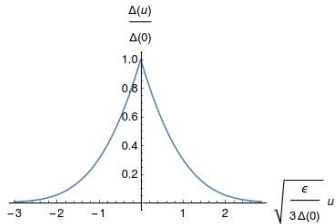
$$\partial_I \left[ \ln \int_{-\infty}^{\infty} du \Delta_I(u) \right] = (\epsilon - 3\zeta) = 0. \quad (8)$$

## Fiksna točka $\partial_I \Delta_I = 0$

- Implicitno rješenje uz  $\partial_I \Delta_I = 0$  i  $\epsilon - 3\zeta = 0$ :

$$\begin{aligned} & \left\{ \frac{\epsilon}{3} u \Delta(u) - \frac{1}{2} [(\Delta(u) - \Delta(0))^2] ' \right\}' = 0 \\ \xrightarrow{\int \int} & \frac{\epsilon}{6\Delta(0)} u^2 = \frac{\Delta(u)}{\Delta(0)} - 1 - \ln \left[ \frac{\Delta(u)}{\Delta(0)} \right]. \end{aligned} \quad (9)$$

- Reskaliranjem se u fiksnoj točki razvija neanalitičnost u obliku šiljka:



Slika : Funkcija  $\Delta(u)$  u fiksnoj točki.

# Neanalitičnost korelatora nereda

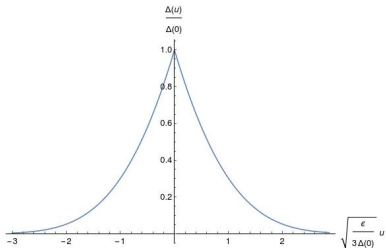
Pojava neanalitičnosti reskaliranjem

$$\Delta''(0) = \frac{\Delta''_0(0) e^{\epsilon I}}{1 + \frac{3}{\epsilon} \Delta''_0(0) (e^{\epsilon I} - 1)} \quad (10)$$

$$\implies I_c = \frac{1}{\epsilon} \ln \left[ 1 - \frac{\epsilon}{3\Delta''_0(0)} \right] \quad (11)$$

# REM model rekapitulacija

- ▶ Analitično  $\xrightarrow{FRG}$  neanalitično.
- ▶ Skala  $I_c$  odgovara heurističnoj Larkinovoj  $L_c$ .



Slika : Funkcija  $\Delta(u)$  u fiksnoj točki.

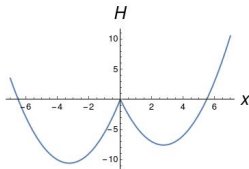
- ▶ Singularitet-šiljak  $\Delta$ -e u fiksnoj točki je potpis metastabilnosti.
- ▶  $\Delta''_I(0)$  divergira u  $I_c$  točki skale.

# Model-igračka

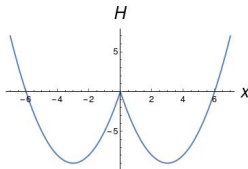
- ▶ Uvodimo model-igračku s nametnutim metastabilnim stanjima  
→ tražimo analognu neanalitičnost.
- ▶ Model:

$$H = -a|x| + bx^2, \quad a, b > 0; \quad (12)$$

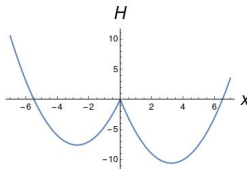
nerez:  $P(h) = \frac{1}{\sqrt{2\pi}\sigma} \exp\left(-\frac{h^2}{2\sigma}\right).$  (13)



(a)  $h < 0$



(b)  $h = 0$

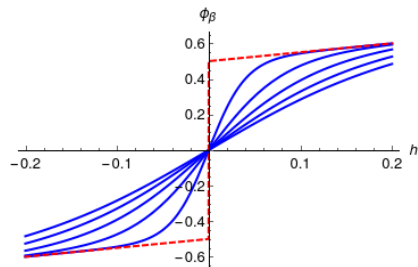
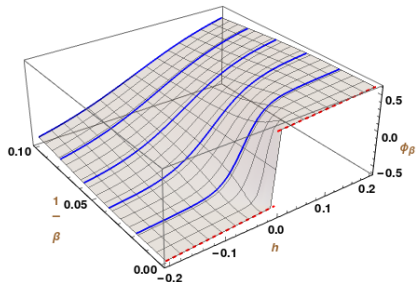


(c)  $h > 0$

Slika : Hamiltonijan modela-igračke s doprinosom nereda  $-hx$ .

# Model-igračka

## Parametar uređenja



(a) Puni dijagram s izdvojenim krivuljama. (b) Izdvojene ovisnosti s a) usporedno.

Slika : Ovisnost parametra uređenja o temperaturi  $1/\beta$  i  $h$ .

# Model-igračka

Analitički račun kumulanata

- ▶ Prvi kumulant:

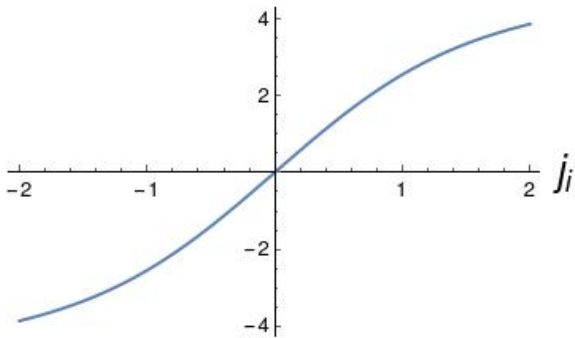
$$\langle \phi_i \rangle_c = \langle \phi_i \rangle = \int_{-\infty}^{\infty} dh P(h) \phi[h + j_i]. \quad (14)$$

- ▶ Drugi kumulant:

$$\begin{aligned} \langle \phi_1 \phi_2 \rangle_c &= \langle \phi_1 \phi_2 \rangle - \langle \phi_1 \rangle \langle \phi_2 \rangle \\ &= \int_{-\infty}^{\infty} dh P(h) \phi[h + j_1] \phi[h + j_2] - \langle \phi_1 \rangle \langle \phi_2 \rangle. \end{aligned} \quad (15)$$

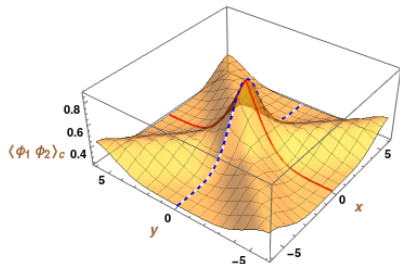
## Model-igračka

$$\langle \phi_i \rangle_c$$

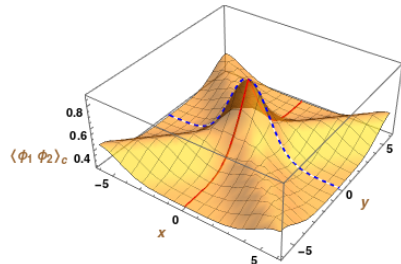


Slika : Prvi kumulant  $\langle \phi_i \rangle_c$ .

# Model-igračka



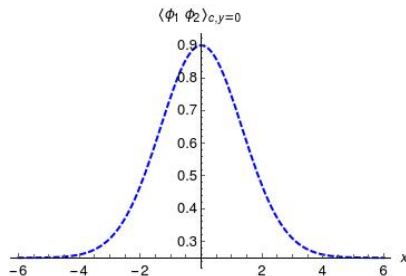
(a) Prikaz drugog kumulanta s naglašenim  $x = 0$  i  $y = 0$  ovisnostima.



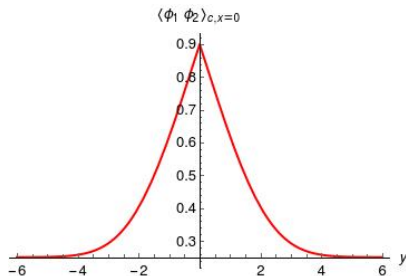
(b) Prikaz a) s pogledom iz drugog smjera.

Slika : Ovisnost drugog kumulanta o  $x = \frac{j_1 + j_2}{\sqrt{2}}$  i  $y = \frac{j_1 - j_2}{\sqrt{2}}$ .

# Model-igračka



(a) Izdvojena analitička ovisnost o  $x$  za  $y = 0$ .

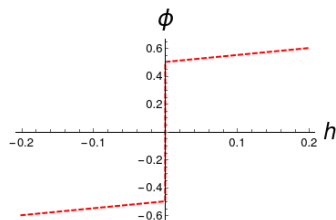


(b) Izdvojena neanalitička ovisnost o  $y$  za  $x = 0$  s razvidnim singularitetom-šiljkom.

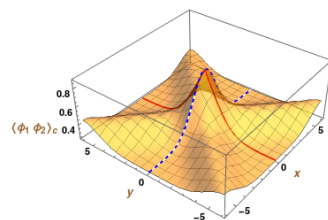
Slika : Ovisnost drugog kumulanta o  $x = \frac{j_1 + j_2}{\sqrt{2}}$  i  $y = \frac{j_1 - j_2}{\sqrt{2}}$ .

# Model-igračka rekapitulacija

- ▶  $T = 0K$  metastabilnost producira  $\langle \phi_1 \phi_2 \rangle - \langle \phi_1 \rangle \langle \phi_2 \rangle$  šiljak:



(a) Parametar uređenja.

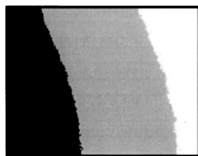


(b)  $\langle \phi_1 \phi_2 \rangle - \langle \phi_1 \rangle \langle \phi_2 \rangle$ .

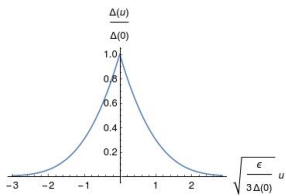
Slika : Grafovi  $T = 0K$  veličina interesantnih za model-igračku.

# Zaključak

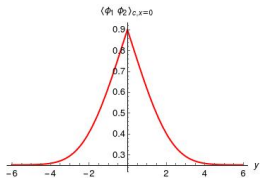
- ▶ REM model i model-igračka:  
neuređeni sustavi s metastabilnosti.
- ▶ Analitički  $T = 0K$  račun:  
singularitet-šiljak.



(a) Domenski zid u ultratankom sloju [2]:  
 $d = 2 \implies \zeta = \frac{2}{3}$ .



(b) REM  $\Delta(u)$  u  $T = 0K$  fiksnoj točki.



(c)  $T = 0K$  korelator drugog modela ( $x = 0$ ).

# Literatura

-  K. J. Wiese i P. Le Doussal: Functional Renormalization for Disordered Systems, Basic Recipes and Gourmet Dishes, *Markov Processes Relat. Fields* 13 (2007) 777-818.
-  S. Lemerle, J. Ferr, C. Chappert, V. Mathet, T. Giamarchi i P. Le Doussal: Domain Wall Creep in an Ising Ultrathin Magnetic Film, *Phys. Rev. Lett.* 80, 849 (1998).
-  A. Cheung: *Phase Transitions and Collective Phenomena*, bilješke, siječanj 2011.
-  P. Chauve, T. Giamarchi i P. Le Doussal: Creep and depinning in disordered media, *Phys. Rev. B* 62, 6241 (2000).
-  P. Le Doussal: *Functional renormalization*, prezentacija za CNRS-LPTENS Paris Windsor ljetnu školu, kolovoz 2004.

